

ЧИСЛЕННОЕ МОДЕЛИРОВАНИЕ ИСТОЧНИКА МОЛЕКУЛЯРНО-ЛУЧЕВОЙ ЭПИТАКСИИ ПРИ РАЗЛИЧНОМ ХАРАКТЕРЕ ОТРАЖЕНИЯ МОЛЕКУЛ

© В.П.Шапеев, О.А.Шмагунов

Институт теоретической и прикладной механики СО РАН,

630090 Новосибирск, Россия

(Поступило в Редакцию 4 августа 1995 г.)

Введение

Одна из основных проблем молекулярно-лучевой эпитаксии (МЛЭ) заключается в управлении слоем вещества, осаждаемого на поверхности подложки, помещенной в молекулярный поток. Для оптимизации процесса эпитаксии необходимо знание зависимости распределения толщины слоя вещества от физических характеристик потока и параметров установки МЛЭ.

В установках МЛЭ распространяется трубчатый эффузионный источник молекулярных (атомных) пучков, схема которого представлена на рис. 1. Он представляет собой цилиндрическую трубку 1, частично заполненную веществом 3, испарение которого создает молекулярный поток (a — радиус трубки, L — длина ее свободной части). На расстоянии l от выходного сечения трубки находится плоская пластина 2, на которой размещена подложка.

В работе для этой схемы в случае, когда поверхность испарения 4 (эмиттер) — плоскость, дан вывод аналитических соотношений для радиального распределения плотности потока на подложку в случае зеркального (с сохранением угла падения) отражения молекул от стенок источника (вывод аналитических соотношений в случае диффузного отражения приведен в работе [1]). Приводится сравнительный анализ расчетов для двух типов отражения при различных геометрических параметрах L/a и l/a источника МЛЭ. Обсуждаются требования к точности расчетов и связанные с этим проблемы при использовании метода ПСМ. Затрагиваются вопросы практического применения решения данной задачи.

Постановка задачи и математическая модель

В рассматриваемой задаче приняты следующие предположения. Испускаемые эмиттером молекулы внутри трубки и вне ее двигаются в свободно молекулярном режиме течения, испытывая столкновения только со стенками трубки. Рассмотрены два варианта взаимодействия молекул со стенкой: полностью диффузное отражение с максвелловской функцией распределения [2] и полностью зеркальное отражение с сохранением угла падения. Для молекул, вылетающих из эмиттера, в каждой его точке задается максвелловская функция распределения по скоростям. Попадающие на эмиттер молекулы погло-

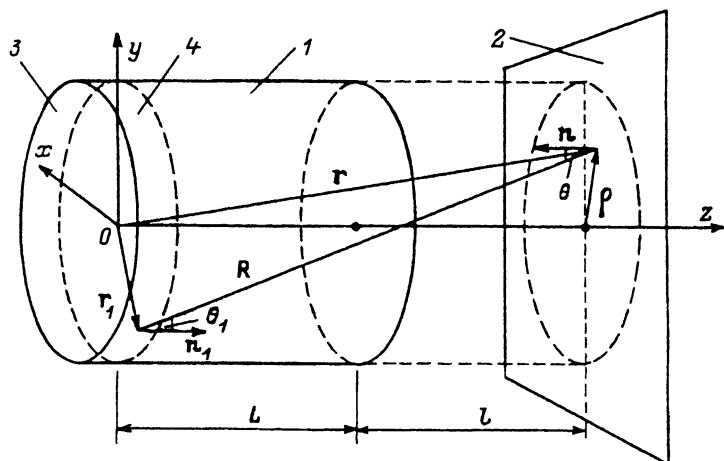


Рис. 1.

щаются. Геометрические параметры таковы, что обратным потоком молекул с подложки в трубку можно пренебречь.

Случай диффузного отражения молекул от стенок трубы подробно анализировался в работе [1]. Поэтому в данной работе рассматривается главным образом случай зеркального типа взаимодействия молекул со стенками. Для подсчета суммарного потока, приходящего в точку D подложки (рис. 2, а), надо проинтегрировать все элементарные потоки, приходящие в D напрямую с эмиттера и после отражения от стенок источника. Траектории всех молекул лежат внутри конуса с вершиной D , проходящего через край выходного сечения трубы. Если каждую ломаную траекторию $ABCD$ "спрятать" путем ее замены отрезком прямой $A'D$ (рис. 2, б), на которой лежит последнее звено CD , то каждой истинной траектории взаимно однозначно будет поставлена в соответствие фиктивная прямолинейная траектория. Причем угол, под которым молекула вылетает с эмиттера, останется неизменным. Такая замена делает суммарный поток, приходящий в точку D от источника с зеркально отражающими стенками, эквивалентным потоку с

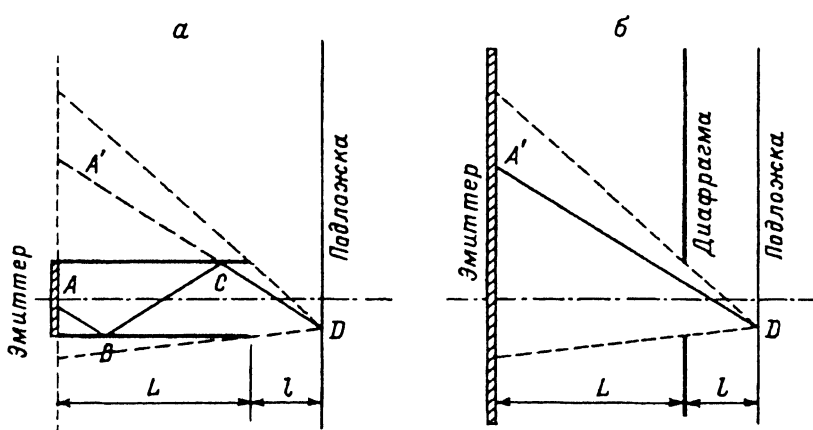


Рис. 2.

“ пятна Кнудсена”, образованного пересечением вышеописанного конуса с плоскостью эмиттера. Таким образом, исходная сложная задача моделирования зеркальной трубы оказалась сведенной к существенно более простой, которая может быть сформулирована следующим образом: нужно рассчитать поток на подложку от бесконечного эмиттера через диафрагму, расположенную на месте выходного сечения трубы. При этом задача становится похожей на расчет потока от “ пятна Кнудсена”, поскольку сводится к вычислению потока в каждой точке подложки от видимой через диафрагму части пластины. При фиксированных L и l размер этой области является фиксированным, но положение зависит от положения точки подложки. Расчеты были продублированы методом ПСМ для зеркальной трубы. Результаты оказались идентичными.

В качестве масштабов длины и потока взяты радиус трубы a и плотность потока с эмиттера j_0 , которая определяется скоростью испарения в пустоту [3],

$$j_0 = \frac{P_0}{(2\pi mkT)^{3/2}},$$

где P_0 — давление насыщенного пара вещества эмиттера.

Для безразмерных геометрических параметров сохранены обозначения, введенные на рис. 1.

При указанных выше предположениях общее выражение для плотности потока на подложку имеет вид [2]

$$j(\rho) = \frac{1}{\pi} \int_{S_1(r)} j(r_1) \frac{|\cos \theta_1 \cos \theta|}{R^2} dS_1. \quad (1)$$

Здесь $S_1(r)$ — видимая из точки на подложке с радиус-вектором r часть эмиттера, ρ — проекция r на поверхность подложки, $|R| = |r - r_1|$, θ_1 и θ — углы между \mathbf{R} и нормальми к поверхности S_1 в точке с радиус-вектором r_1 и к поверхности подложки в точке с радиус-вектором r соответственно.

В случае зеркального отражения $S_1(r)$ представляет собой круг с радиусом $r_k \equiv \text{const} = a(1 + L/l)$ (рис. 2).

$$\cos \theta_1 = |\cos \theta| = \frac{L + l}{R}, \quad R^2 = (L + l)^2 + \rho'^2 + r_1^2 - 2\rho' r_1 \cos \varphi, \quad (2)$$

где $\rho' = \rho(1 + L/l)$ — расстояние между точкой подложки с радиус-вектором r и проекцией на нее центра круга $S_1(r)$.

После подстановки (2) в (1) имеем

$$j(\rho) = \frac{1}{\pi} \int_0^{r_k} dr_1 r_1 \int_0^{2\pi} d\varphi \frac{(L + l)^2}{[(L + l)^2 + \rho'^2 + r_1^2 - 2\rho' r_1 \cos \varphi]^2}. \quad (3)$$

Интеграл (3) сводится к табличным, после взятия которых получим безразмерную плотность потока молекул в точке ρ подложки

$$j(\rho) = \frac{1}{2} \left[1 - \frac{(L + l)^2 + \rho'^2 - r_k^2}{\sqrt{[(L + l)^2 + \rho'^2 + r_k^2]^2 - 4\rho'^2 r_k^2}} \right]. \quad (4)$$

Формулу (4) можно несколько упростить, если подставить в нее значения ρ' и r_k ,

$$j(\rho) = \frac{1}{2} \left[1 - \frac{l^2 + \rho^2 - a^2}{\sqrt{(l^2 + \rho^2 + a^2)^2 - 4\rho^2 a^2}} \right]. \quad (5)$$

Интересно отметить, что из формулы (5) исчезла зависимость от параметра L , т.е. при зеркальном отражении молекул от стенок источника распределение потока на подложку не зависит от длины трубы. Сама же формула (5) описывает истечение газа через круглое отверстие радиуса a , расположенное на месте выходного сечения. Эта формула и аналогичные формулы из [1] позволяют рассчитать плотность потока в произвольной точке и на произвольной поверхности.

Результаты численного моделирования

В приведенных ниже результатах распределение плотности потока молекул рассчитывалось по формуле (5) в случае зеркального отражения молекул от стенок источника и по аналитическим формулам, полученным в [1] в случае диффузного отражения. Кроме того, для контроля использовался метод ПСМ [4], который пригоден для решения подобных задач в более общих случаях, в частности при произвольных формах источника. Однако метод ПСМ требует больших затрат времени.

На рис. 3 представлены три графика распределения плотности потока молекул на подложку, рассчитанные при одних и тех же параметрах источника МЛЭ ($L = 8, l = 15$). Монотонная кривая соответствует расчету по формуле (5), кривая с квадратиками — расчету методом ПСМ при использовании 10^6 пробных молекул и кривая с кружочками — расчету методом ПСМ при использовании 10^7 пробных молекул.

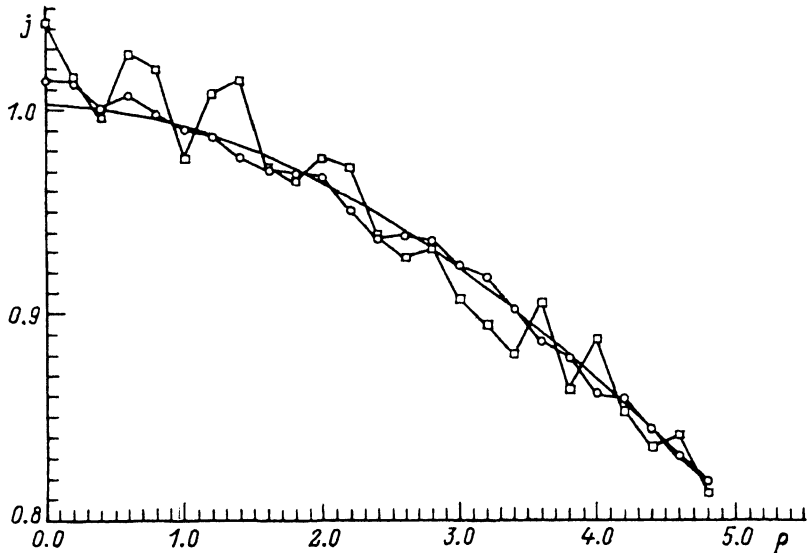


Рис. 3.

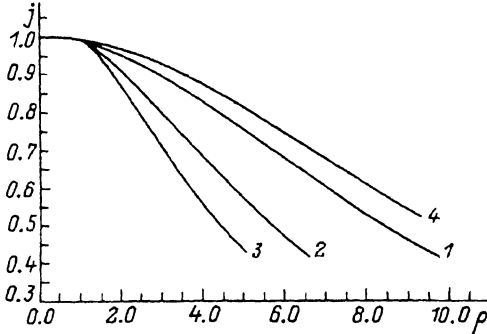


Рис. 4.

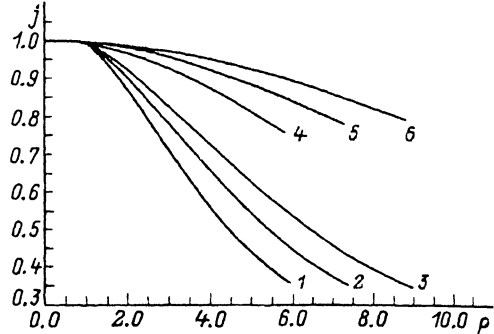


Рис. 5.

Погрешность счета в третьем случае примерно в 3 раза меньше, чем во втором, но все же остается довольно значительной и составляет около 1% от $j(0)$. Простая статистическая оценка (как известно, погрешность обратно пропорциональна \sqrt{N} , где N — число молекул) показывает, что для достижения точности счета 0.1% (а именно такая точность желательна для расчета плотности потока при $\rho \leq 1$) требуется 10^9 пробных молекул. При этом расчет методом ПСМ требует больших вычислительных мощностей. Поэтому в данной работе метод ПСМ использовался прежде всего для контроля результатов, получаемых регулярным методом.

Рис. 4 воспроизводит результаты, полученные в [1] для источника с диффузно отражающими стенками для $L = 1, 4.5, 8$ при $l = 15$ (кривые 1–3), и результаты, полученные по формуле (5) для источника с зеркально отражающими стенками при тех же параметрах источника (кривая 4). В последнем случае распределения для трех различных значений L совпадают, поскольку, как следует из формулы (5), для источника с зеркально отражающими стенками распределение плотности потока молекул на подложку не зависит от длины трубы L источника. Сравнительный анализ кривых 1–3 и 4 показывает, что чем меньше L , тем меньше характер отражения молекул от стенок трубы влияет на распределение $j(\rho)$. В самом деле, при малых L вклад в распределение отраженных от стенок молекул мал и независимо от характера отражения источник работает как излучающее пятно Кнудсена радиуса a , расположенное на месте эмиттера. И напротив, при больших L различие оказывается весьма существенным. Это связано прежде всего с тем, что в случае зеркального отражения молекул распределение плотности в периферийной от оси источника зоне определяется молекулами, вылетевшими с эмиттера под большими углами θ_1 . В случае же диффузного отражения вклад таких молекул в общее распределение с ростом L уменьшается, поскольку для них увеличивается вероятность вернуться на эмиттер.

Кривые 1–3 на рис. 5 соответствуют результатам, полученным в [1] для источника с диффузно отражающими стенками для $l = 15, 20, 25$ при $L = 8$. Кривые 4–6 характеризуют источник со вторым типом отражения при тех же геометрических параметрах. Качественно поведение кривых 4–6 похоже на поведение кривых 1–3, но характеризуется более равномерным распределением.

При средних параметрах установок МЛЭ различие в распределениях плотности потоков молекул на подложку при различных типах

отражения молекул от стенок источника достигает на расстоянии двух радиусов эмиттера от центра подложки величины порядка 1%. На современном уровне развития технологии напыления эта величина является существенной и может быть измерена в эксперименте. Располагая результатами физического эксперимента, можно было бы по характеру распределения толщины напыленного слоя на подложке судить о характере взаимодействия молекул со стенками источника, в частности приблизенно оценить количественное соотношение между диффузно и зеркально отраженными молекулами и, возможно, зависимость этого соотношения от температуры стенок источника. Эта задача представляет собой немалый как физический, так и практический интерес.

Следует отметить также, что эта задача предъявляет определенные требования к точности численного расчета. И для ее решения совершенно непригоден применяемый на практике метод диаграммы направленности, оценка точности которого была дана в [1].

Авторы выражают благодарность за внимание к работе С.И. Чижичеву и Д.Н. Придачину.

Список литературы

- [1] Григорьев Ю.Н., Шавалиев М.Ш., Шапеев В.П. // ЖТФ. 1994. Т. 64. Вып. 8. С. 24–34.
- [2] Коган М.И. Динамика разреженного газа. М.: Наука, 1967. 440 с.
- [3] Ландау Л.Д., Лифшиц Е.М. Статистическая физика. Часть I. М.: Наука, 1976.
- [4] Берд Г. Молекулярная газовая динамика. М.: Мир, 1981. 320 с.

01;02;04

Журнал технической физики, т. 66, в. 9, 1996

РАСЧЕТ ЧАСТОТЫ ИОНИЗАЦИИ В ГЕЛИИ ПРИ СИЛЬНЫХ ОДНОРОДНЫХ ЭЛЕКТРИЧЕСКИХ ПОЛЯХ

© А.А.Абрамов, А.И.Машенко, В.Ф.Папакин, Г.Н.Толмачев

Институт общей физики РАН,
117942 Москва, Россия
(Поступило в Редакцию 3 августа 1995 г.)

Частота ионизации атомов электронами ν_i является параметром, непосредственно характеризующим динамику поведения заряженных частиц во времени. Она входит в уравнение непрерывности для электронов, связывающее суммарную скорость изменения электронной концентрации с механизмом их генерации [1],

$$dn/dt = \nu_i n, \quad (1)$$

где n — концентрация электронов.

При этом параметр ν_i непосредственно вычисляется с помощью функции распределения электронов по энергиям ($\Phi\text{РЭЭ}$) $f(\varepsilon)$

$$\nu_i = \int_0^\infty \sigma_i(\varepsilon) v(\varepsilon) f(\varepsilon) d\varepsilon,$$

где $\sigma_{i0}(\varepsilon)$ — сечение ионизации, v — скорость.